

## РАСЧЕТ ЛАМИНАРНОГО ФАКЕЛА С УЧЕТОМ ГРАДИЕНТА ДАВЛЕНИЯ В ЗОНЕ ГОРЕНИЯ

Л. Ю. Артюх, С. И. Файнерман

1. Известно [1—6], что горение в газовом потоке возмущает течение в окрестности фронта пламени, при этом нарушается изобарность течения, сопровождающаяся ускорением газа. В работе [1] на примере горения однородной смеси из простых физических соображений проведен качественный анализ структуры турбулентного факела. Показано, что в нем, как и в ламинарном факеле [6], имеет место «всплеск» скорости и спад давления во фронте пламени. Основную роль в расчетах [1, 6] играл приближенный переход к наглядной квазиодномерной (вдоль линий тока) схеме принципиально двумерного потока. Основанием к такому переходу служат экспериментальные линии тока в бунзеновской горелке, которые в свежей смеси подходят к фронту пламени прямолинейно, а во фронте искривляются и расширяются. При этом скорость газа за фронтом возрастает, как показывает приближенный расчет, пропорционально температуре  $u_1/u_2 \sim T_2/T_1$ , а давление падает  $\Delta p = -\gamma M_1^2 (u_2/u_1 - 1)$ ; здесь индексы 1 и 2 отвечают условиям до и после фронта.

Численный расчет ламинарного прямоструйного факела на основе уравнений пограничного слоя для реагирующего газа в предположении изобарности процесса был проведен в работах [7, 8]. Результаты решения дали качественно верную картину линий тока, полей температуры и концентраций компонентов. Что касается профилей скорости газа, то не было получено ускорения течения во фронте пламени. Кроме того, трубки тока после разогрева расширились пропорционально увеличению температуры, что не соответствует экспериментам [2, 3]. Видимо, эти результаты являются следствием предположения о изобарности течения. Не прибегая в настоящей работе к сложным расчетам, основанным на уравнениях Навье—Стокса, попытаемся решить задачу о ламинарном факеле на основе уравнений пограничного слоя, но в отличие от [7, 8] приближенно учтем изменение давления вдоль линий тока [1]. Используем уравнения пограничного слоя, записанные в переменных Мизеса:

$$\frac{\partial u}{\partial \xi} = \frac{\partial}{\partial \psi} \left( u \frac{\partial u}{\partial \psi} \right) - \frac{1}{\gamma M_0^2} \cdot \frac{1}{\rho u} \cdot \frac{\partial p}{\partial \xi}, \quad (1)$$

$$\frac{\partial T}{\partial \xi} = \frac{\partial}{\partial \psi} \left( \frac{u}{Pr} \cdot \frac{\partial T}{\partial \psi} \right) + \frac{1}{\rho} \frac{\partial p}{\partial \xi} + \frac{\gamma - 1}{\rho} M_0^2 u \left( \frac{\partial u}{\partial \psi} \right)^2 + \frac{Q}{C_p T_0} \cdot \frac{w(C_i, T)}{u}, \quad (2)$$

$$\frac{\partial C_i}{\partial \xi} = \frac{\partial}{\partial \psi} \left( \frac{u}{Sc_i} \cdot \frac{\partial C_i}{\partial \psi} \right) - \sigma_i \frac{w(C_i, T)}{u}, \quad (C_T + C_O + C_N = 1), \quad (3)$$

$$\rho = \rho T.$$

Здесь принято приближенное соотношение

$$\mu \rho = \text{const}. \quad (5)$$

Все величины в уравнениях безразмерные (отнесены к соответствующим значениям на выходе из сопла),  $\xi = x/LRe$ ,  $\partial \psi / \partial x = -\rho v$ ,  $\partial \psi / \partial y = \rho u$ ,  $Re = u_0 L / \nu_0$ .

Закон изменения давления в трубке тока необходимо задать. Изменение давления во фронте пламени есть результат резкого уве-

личения температуры, поэтому логично выразить градиент давления через температуру. В термодинамике сложные состояния газа, когда меняются давление, температура и объем, описываются уравнением политропы

$$p = \rho^n. \quad (6)$$

Поскольку этот процесс зависит от условий эксперимента, то показатель политропы  $n$  необходимо подбирать из условия согласования результатов расчета с опытом.

Преобразуем в уравнениях (1) и (2), согласно (4) и (5), члены, связанные с работой расширения

$$(1/\rho) (dp/d\xi) = [n/(n-1)] (\partial T/\partial \xi) \approx -n (\partial T/\partial \xi). \quad (7)$$

Из (7) следует, что в области теплового скачка с большим градиентом температуры  $\partial T/\partial \xi$  градиент давления может быть также отличен от нуля. Для увеличения скорости течения в несколько раз показатель политропы, как видно из (1) и (7), должен быть соизмерим с величиной  $M_0^2$ . Обычно скорость потока в ламинарных факелах мала и  $M_0 \sim 10^{-3}$ , тогда  $n \sim 10^{-6}$ , т.е. процесс близок к изобарическому. В этом случае градиент давления в уравнении энергии, как и диссипативный член, пренебрежимо мал.

Таким образом, задача о плоском прямоструйном факеле сводится к решению системы:

$$\frac{\partial u}{\partial \xi} = \frac{\partial}{\partial \psi} \left( u \frac{\partial u}{\partial \psi} \right) + \frac{n}{\gamma M_0^2} \frac{1}{u} \frac{\partial T}{\partial \xi}, \quad (8)$$

$$\frac{\partial T}{\partial \xi} = \frac{\partial}{\partial \psi} \left( \frac{u}{Pr} \frac{\partial T}{\partial \psi} \right) + \frac{Q}{C_p T_0} \cdot \frac{\omega(C_i, T)}{u}, \quad (9)$$

$$\frac{\partial C_i}{\partial \xi} = \frac{\partial}{\partial \psi} \left( \frac{u}{Sc_i} \frac{\partial C_i}{\partial \psi} \right) - \sigma_i \frac{\omega_i(C_i, T)}{u}, \quad (10)$$

$$C_T + C_0 + C_N = 1 \quad (11)$$

с граничными условиями:

при

$$0 \leq \psi < 1: u = 1, T = T_0, c_i = c_{i0};$$

$\xi = 0$ :

$$1 \leq \psi < \infty: u = u_\infty, T = T_\infty, c_i = 0,$$

при  $\xi > 0$ :

$$\psi \rightarrow \infty: u \rightarrow u_\infty, T \rightarrow T_\infty, C_i \rightarrow 0. \quad (12)$$

$$\psi \rightarrow \infty: u \rightarrow u_\infty, T \rightarrow T_\infty, C_i \rightarrow 0.$$

Выражение функции  $\omega(c_i, T)$  — некоторой эффективной скорости реакции, как и в [7, 8], задавалось в виде

$$\omega = B (C_T C_0 / T) \exp(-E/RT), \quad (13)$$

где  $B = k_0 L^2 \rho_0 / \mu_0$ ;  $k_0$  — предэкспонент в законе Аррениуса;  $E$  — энергия активации;  $\sigma$  — коэффициент, равный весу окислителя, необходимого для сжигания единицы веса топлива. Переход в физическую плоскость координат  $x, y$  осуществляется согласно (4) — (6) (так как  $n \ll 1$ ) обычным интегрированием:

$$y = \int_0^\psi \frac{d\psi}{\rho u} = \int_0^\psi T \frac{d\psi}{u}. \quad (14)$$

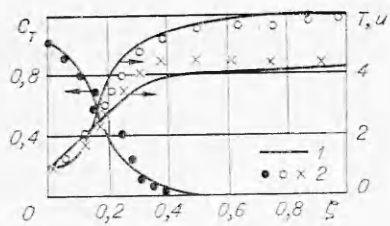
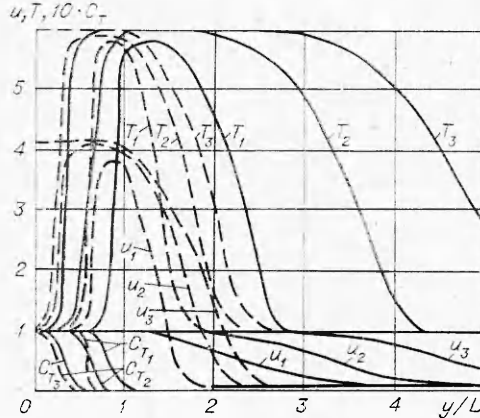


Рис. 1. Безразмерные профили скорости, температуры и концентрации топлива вблизи фронта пламени.

Рис. 2. Безразмерные профили температуры, скорости и концентрации в сечениях  $\xi = 0,004$  (1), 0,008 (2), 0,012 (3).

—  $p = \text{const}$ ; ----  $p = \rho^2 \gamma M_0^2$ .



Из уравнений (8) и (14) можно сделать вывод о том, что в факеле, вследствие изменения температуры будет увеличиваться скорость течения, что, в свою очередь, приведет к меньшему расширению факельной струи в сравнении с изобарической нагретой струей [7, 8].

2. Задача (8) — (14) решалась численно на ЭЦВМ по явной конечно-разностной схеме, для которой шаги сетки  $\xi_i = i \Delta \xi$ ,  $\psi_k = k \Delta \psi$  выбирались из условия устойчивости

$$\frac{\Delta \xi}{(\Delta \psi)^2} \leq \frac{1 - \Delta \xi \cdot [\omega_{i,k} / (C_{T,i,k} \cdot u_{i,k})]}{u_{i,k+1} + u_{i,k}}. \quad (15)$$

Как видно из условия (15), чем выше скорость реакции, тем меньше должны быть шаги сетки. При расчете рассматриваемого здесь варианта были взяты значения  $\Delta \psi = 2 \cdot 10^{-2}$ ;  $\Delta \xi = 8 \cdot 10^{-5}$ . Изменение шагов счета в контрольных вариантах не влияло на результаты решения.

Неизвестная пока величина  $n$ , как отмечалось выше, может быть найдена из согласия расчета с опытом. Сравним с экспериментом безразмерные профили скорости, температуры и концентрации топлива в зависимости от приведенной координаты  $\xi = (N - N_1) / (N_2 - N_1) \approx (\xi - \xi_1) / (\xi_2 - \xi_1)$ . Здесь  $N$  — нормальная к фронту координата в опытах, а  $\xi$  — продольная координата вдоль линий тока в расчетах. Индексы 1 относятся к координатам перед фронтом, когда температура еще равна температуре холодной смеси, 2 — к координатам после фронта, где температура уже равна максимальной температуре продуктов сгорания.

На рис. 1, 1 показано численное решение задачи (8) — (14), полученное при следующих значениях безразмерных параметров:  $Q / C_p T_0 = 50$ ,  $E / RT_0 = 30$ ,  $B = 4 \cdot 10^8$ ,  $\sigma_0 = 3,64$  для средней линии тока ( $\psi = 0,4$ ). (Как известно из [8], влияние изменения  $\psi$  невелико на прямом участке факела.) На рис. 1, 2 показаны экспериментальные профили скорости, температуры и концентрации [2]. Согласие численного решения с экспериментом удовлетворительное. Для этого было принято значение параметра  $n / \gamma M_0^2 = 2$ , что обеспечило увеличение скорости в 4 раза.

На рис. 2 и 3 приведено сравнение расчетов ламинарных факелов без учета и с учетом изменения давления. В первом случае факел длиннее и шире, трубки тока расширяются во столько раз, во сколько нагревается газ. Во втором — энергия горения расходуется не только на расширение трубок тока, но также на увеличение кинетической энергии газа, вследствие чего скорость его возрастает. При этом

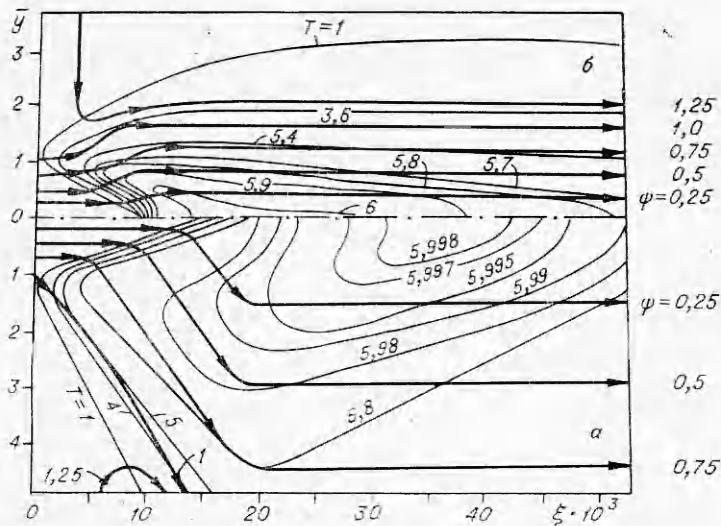


Рис. 3. Линии тока и изотермы в гомогенном факеле.

а)  $n=0$ ; б)  $n = 2\gamma M_0^2$ .

изотермы (тонкие линии рис. 3) также сужаются и максимум температуры приближается к вершине факела, горение становится более напряженным.

Авторы с глубокой благодарностью вспоминают профессора Л. А. Вулиса, проявлявшего большое внимание к нашей работе и предложившего данный приближенный метод теоретического решения задачи об ускорении газа во фронте пламени.

Казахский госуниверситет

Поступила в редакцию  
Ю/Х 1974

#### ЛИТЕРАТУРА

1. Л. А. Вулис. ФГВ, 1972, 8, 1, 40.
2. Р. М. Фристром, А. А. Вестенберг. Структура пламени. М., «Металлургия», 1969, с. 284.
3. G. Janisch. Chem. — Ing. — Techn., 1971, 43, 9.
4. Л. А. Вулис, О. А. Кузнецов, Л. П. Ярин. Третий Всесоюзный симпозиум по горению и взрыву. Черноголовка, 1971.
5. Тадао Такепо. Comb. Sci. and Techn., 1972, 5, 3.
6. Е. С. Щетинков. Физика горения газов. М., «Наука», 1965.
7. Л. Ю. Артюх, Л. А. Вулис, Э. А. Закарин. Третий Всесоюзный симпозиум по горению и взрыву. Черноголовка, 1971.
8. Л. Ю. Артюх, Э. А. Закарин и др. Тепло- и массоперенос. Т. 1, ч. 2. Минск, Уч. издат., 1972.